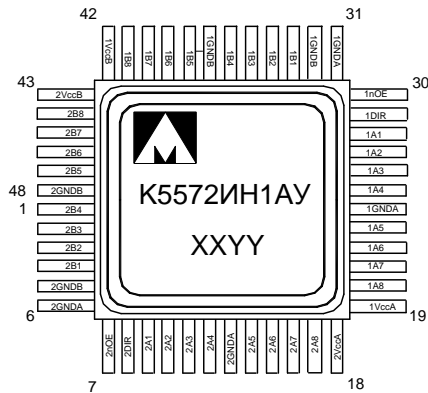
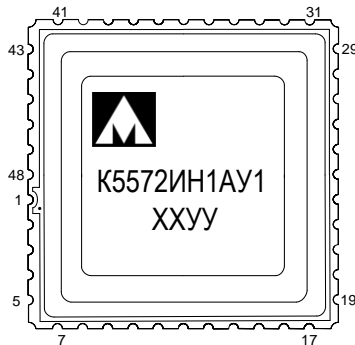




**Комплект микросхем  
16-разрядных двунаправленных шинных формирователей  
5572ИН1АУ, К5572ИН1АУ, К5572ИН1АУК,  
5572ИН1БУ, К5572ИН1БУ, К5572ИН1БУК,  
5572ИН1АУ1, К5572ИН1АУ1, К5572ИН1АУ1К,  
5572ИН1БУ1, К5572ИН1БУ1, К5572ИН1БУ1К,**



**48-выводной  
металлокерамический  
Н16.48-1В**



**48-выводной  
металлокерамический  
5142.48-А**

XX – год выпуска  
YY – неделя выпуска

### Тип корпуса:

- 48-выводной металлокерамический корпус Н16.48-1В;
- 48-выводной металлокерамический корпус 5142.48-А.

### Общее описание и области применения микросхемы

Микросхемы 5572ИН1А(Б)У и 5572ИН1А(Б)У1 представляют собой шинный формирователь выходных уровней.

Микросхемы предназначены для сопряжения интерфейсных шин имеющих разные уровни питающих напряжений. Микросхема предназначена для применения в широкой номенклатуре аппаратуры специального назначения.

### Основные характеристики микросхемы:

- Напряжение питания портов А и Б,  $U_{CC}$  от 1,65 до 5,5 В;
- Статический ток потребления,  $I_{CC}$ , не более 50 мкА;
- Количество разрядов данных 16;
- 4 независимых домена напряжения питания.

- Рабочий диапазон температур:

Обозначение	Диапазон
5572ИН1А(Б)У	минус 60 ÷ 125 °С
К5572ИН1А(Б)У	минус 60 ÷ 125 °С
К5572ИН1А(Б)УК	0 ÷ 70 °С
5572ИН1А(Б)У1	минус 60 ÷ 125 °С
К5572ИН1А(Б)У1	минус 60 ÷ 125 °С
К5572ИН1А(Б)У1К	0 ÷ 70 °С

## Описание выводов

**Таблица 1** – Описание выводов 2-х канального (16-ти разрядного) шинного формирователя

№ вывода корпуса	Обозначение вывода	Функциональное назначение выводов
1	2B4	Вход/выход 4-го разряда порта В 2-го канала
2	2B3	Вход/выход 3-го разряда порта В 2-го канала
3	2B2	Вход/выход 2-го разряда порта В 2-го канала
4	2B1	Вход/выход 1-го разряда порта В 2-го канала
5	2GNDB	Общий порта В 2-го канала
6	2GNDA	Общий порта А 2-го канала
7	2nOE	Вход разрешения переключения портов 2-го канала
8	2DIR	Направление распространения сигнала 2-го канала
9	2A1	Вход/выход 1-го разряда порта А 2-го канала
10	2A2	Вход/выход 2-го разряда порта А 2-го канала
11	2A3	Вход/выход 3-го разряда порта А 2-го канала
12	2A4	Вход/выход 4-го разряда порта А 2-го канала
13	2GNDA	Общий порта А 2-го канала
14	2A5	Вход/выход 5-го разряда порта А 2-го канала
15	2A6	Вход/выход 6-го разряда порта А 2-го канала
16	2A7	Вход/выход 7-го разряда порта А 2-го канала
17	2A8	Вход/выход 8-го разряда порта А 2-го канала
18	2U <sub>CC</sub> A	Напряжение питания порта А 2-го канала
19	1U <sub>CC</sub> A	Напряжение питания порта А 1-го канала
20	1A8	Вход/выход 8-го разряда порта А 1-го канала
21	1A7	Вход/выход 7-го разряда порта А 1-го канала
22	1A6	Вход/выход 6-го разряда порта А 1-го канала
23	1A5	Вход/выход 5-го разряда порта А 1-го канала
24	1GNDA	Общий порта А 1-го канала
25	1A4	Вход/выход 4-го разряда порта А 1-го канала
26	1A3	Вход/выход 3-го разряда порта А 1-го канала
27	1A2	Вход/выход 2-го разряда порта А 1-го канала
28	1A1	Вход/выход 1-го разряда порта А 1-го канала
29	1DIR	Направление распространения сигнала 1-го канала
30	1nOE	Вход разрешения переключения портов 1-го канала
31	1GNDA	Общий порта А 1-го канала

**Спецификация (К)5572ИН1А(Б)У, (К)5572ИН1А(Б)У1**

№ вывода корпуса	Обозначение вывода	Функциональное назначение выводов
32	1GNDB	Общий порта В 1-го канала
33	1В1	Вход/выход 1-го разряда порта В 1-го канала
34	1В2	Вход/выход 2-го разряда порта В 1-го канала
35	1В3	Вход/выход 3-го разряда порта В 1-го канала
36	1В4	Вход/выход 4-го разряда порта В 1-го канала
37	1GNDB	Общий порта В 1-го канала
38	1В5	Вход/выход 5-го разряда порта В 1-го канала
39	1В6	Вход/выход 6-го разряда порта В 1-го канала
40	1В7	Вход/выход 7-го разряда порта В 1-го канала
41	1В8	Вход/выход 8-го разряда порта В 1-го канала
42	1U <sub>CCB</sub>	Напряжение питания порта В 1-го канала
43	2U <sub>CCB</sub>	Напряжение питания порта В 2-го канала
44	2В8	Вход/выход 8-го разряда порта В 2-го канала
45	2В7	Вход/выход 7-го разряда порта В 2-го канала
46	2В6	Вход/выход 6-го разряда порта В 2-го канала
47	2В5	Вход/выход 5-го разряда порта В 2-го канала
48	2GNDB	Общий порта В 2-го канала

Структурная блок-схема микросхемы

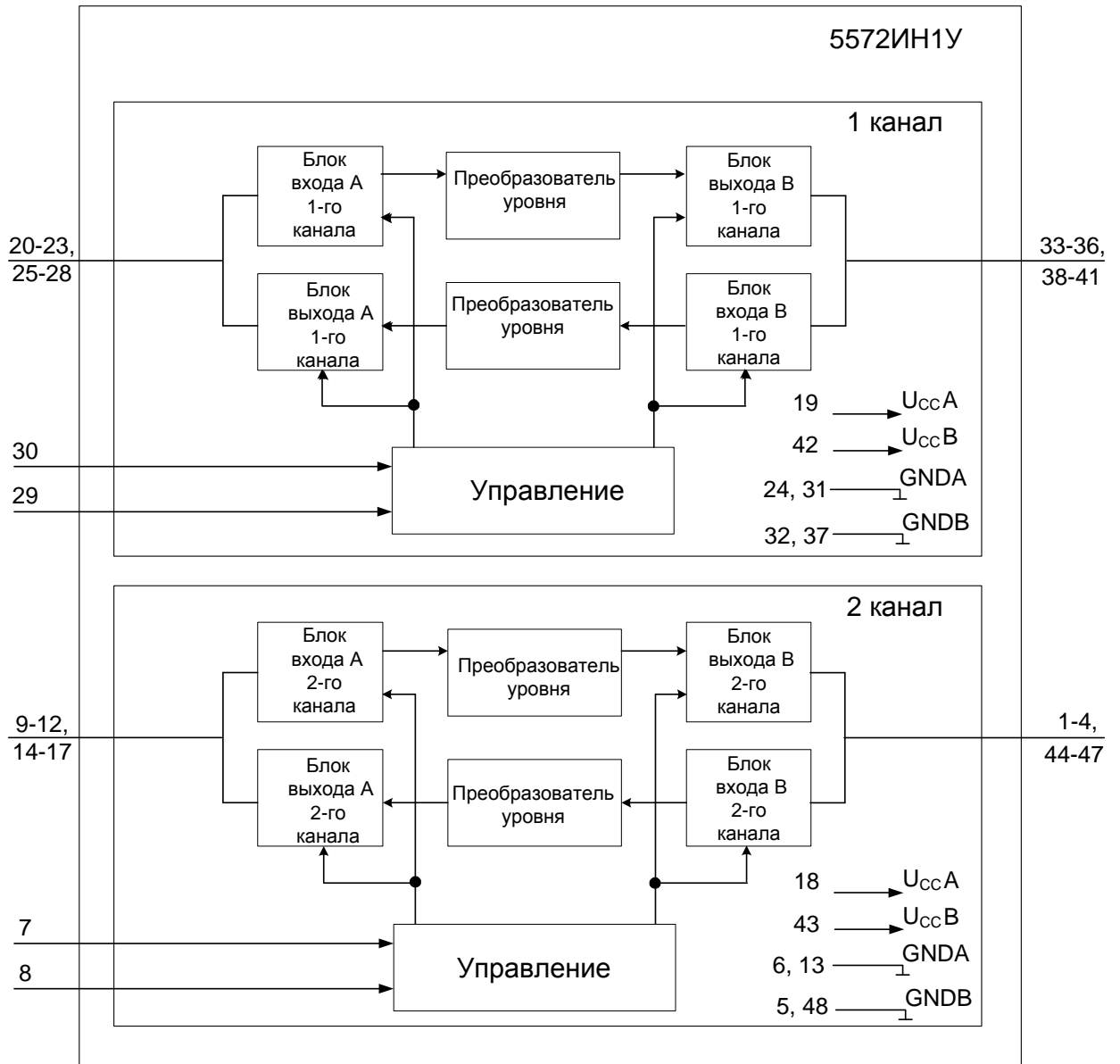


Рис. 1 – Структурная блок-схема шинных формирователей

## **Описание функционирования микросхемы**

Микр осхема ИН1 представляет собой двух канальный 8-ми разрядный формирователь выходных уровней и может работать как 16-ти разрядный формирователь, так и как два независимых 8-ми разрядных формирователя.

Каждый канал имеет свой домен питания, информационные порты (А<1:8>, В<1:8>) и сигналы управления nOE и DIR. Входные уровни сигналов управления nOE и DIR должны соответствовать уровню питания порта А. Все разряды портов за исключением сигналов управления имеют схемы удержания логического состояния. Поэтому внешние резисторы не требуются.

Преобразование уровня сигнала происходит следующим образом:

В рабочем режиме, который определяется сигналом nOE, в зависимости от уровня сигнала DIR, который определяет направление прохождения сигнала, блок «Управление» конфигурирует порты А и В в соответствии с таблицей 2. Входной сигнал высокого уровня напряжением питания входного порта проходит через преобразователь уровня, приобретая уровень напряжения питания выходного порта.

**Таблица 2 – Таблица истинности**

<b>Сигналы управления</b>		<b>Порты</b>		<b>Режим</b>
<b>nOE</b>	<b>DIR</b>	<b>А-порт</b>	<b>В-порт</b>	
L	L	Выходные данные	Входные данные	Передача данных из порта-В в порт-А
L	H	Входные данные	Выходные данные	Передача данных из порта-А в порт-В
H	X	Z	Z	Выкл

H – состояние высокого уровня;

L – состояние низкого уровня;

X – любое состояние высокого или низкого уровня.

**Предельно-допустимые характеристики микросхемы**

**Таблица 3**

Наименование параметра, единица измерения	Буквенное обозначение параметра	Норма параметра			
		Предельно- допустимый режим		Предельный режим	
		не менее	не более	не менее	не более
Напряжение питания портов А и В, В	$U_{CC}$ ( $U_{CCA}$ и $U_{CCB}$ )	1,65	5,5	–	6,0
Входное напряжение высокого уровня портов А и Б, и на выводах nOE и DIR, В,  при: $U_{CCI} = 1,65 - 1,95$ В; $U_{CCI} = 2,25 - 2,75$ В; $U_{CCI} = 3,0 - 3,6$ В; $U_{CCI} = 4,5 - 5,5$ В	$U_{IH}$	1,5 1,7 2,0 $U_{CCI} \cdot 0,7$	$U_{CCI}$	–	$U_{CCI} + 0,3$
Входное напряжение низкого уровня портов А и Б, и на выводах nOE и DIR, В,  при: $U_{CCI} = 1,65 - 1,95$ В; $U_{CCI} = 2,25 - 2,75$ В; $U_{CCI} = 3,0 - 3,6$ В; $U_{CCI} = 4,5 - 5,5$ В	$U_{IL}$	0	$U_{CCI} \cdot 0,35$ 0,7 0,8 $U_{CCI} \cdot 0,3$	минус 0,3	–
<b>5572ИН1АУ, 5572ИН1АУ1</b>					
Выходной ток высокого уровня портов А и В, мА $U_{CC} = 1,65 - 1,95$ В; $U_{CC} = 2,25 - 2,75$ В; $U_{CC} = 3,0 - 3,6$ В; $U_{CC} = 4,5 - 5,5$ В	$I_{OH}$	минус 4 минус 8 минус 16 минус 24		минус 32	
Выходной ток низкого уровня портов А и В, мА $U_{CC} = 1,65 - 1,95$ В; $U_{CC} = 2,25 - 2,75$ В; $U_{CC} = 3,0 - 3,6$ В; $U_{CC} = 4,5 - 5,5$ В	$I_{OL}$		4 8 16 24		32
<b>5572ИН1БУ, 5572ИН1БУ1</b>					
Выходной ток высокого уровня портов А и В, мА $U_{CC} = 1,65 - 1,95$ В; $U_{CC} = 2,25 - 2,75$ В; $U_{CC} = 3,0 - 3,6$ В; $U_{CC} = 4,5 - 5,5$ В	$I_{OH}$	минус 2 минус 4 минус 8 минус 12		минус 16	

**Спецификация (К)5572ИН1А(Б)У, (К)5572ИН1А(Б)У1**

Выходной ток низкого уровня портов А и В, мА $U_{CC} = 1,65 - 1,95 \text{ В};$ $U_{CC} = 2,25 - 2,75 \text{ В};$ $U_{CC} = 3,0 - 3,6 \text{ В};$ $U_{CC} = 4,5 - 5,5 \text{ В}$	I <sub>OL</sub>		2		16
			4		
			8		
			12		
Емкость нагрузки, пФ	C <sub>H</sub>		50		

Примечание – Не допускается одновременное воздействие двух и более предельных режимов.

## Электрические параметры микросхемы

Таблица 4 – Электрические параметры микросхем при приёмке и поставке

Наименование параметра, единица измерения, режим измерения	Буквенное обозначение параметра	Норма параметра		Температура среды, °С
		не менее	не более	
Выходное напряжение высокого уровня портов А и В, В, при: $U_{CC} = 1,65 - 1,95$ В; $U_{CC} = 2,25 - 2,75$ В; $U_{CC} = 3,0 - 3,6$ В; $U_{CC} = 4,5 - 5,5$ В	$U_{OH}$	1,2 1,9 2,4 3,8	– – – –	25, 125, минус 60
Выходное напряжение низкого уровня портов А и В, В, при: $U_{CC} = 1,65 - 1,95$ В; $U_{CC} = 2,25 - 2,75$ В; $U_{CC} = 3,0 - 3,6$ В; $U_{CC} = 4,5 - 5,5$ В	$U_{OL}$	– – – –	0,45 0,4 0,55 0,55	25, 125, минус 60
Входной ток на выводах nOE и DIR, мкА	$I_{I1}$	минус 10	10	25, 125, минус 60
Входной ток выводов портов А и В в статическом режиме, мкА, при: $U_{IH} = U_{CCA} = 5,5$ В (для порта А), $U_{IH} = U_{CCB} = 5,5$ В (для порта В)  $U_{IL} = 0$ В	$I_{I2}$	минус 10 –	– 10	25, 125, минус 60
Входной ток переключения портов А и В из высокого в низкий уровень, мкА, при: $U_{CC} = 1,65 - 1,95$ В; $U_{CC} = 2,25 - 2,75$ В; $U_{CC} = 3,0 - 3,6$ В; $U_{CC} = 4,5 - 5,5$ В	$I_{IHL}$	минус 30 минус 40 минус 50 минус 60	–	25, 125, минус 60
Входной ток переключения портов А и В из низкого в высокий уровень, мкА, при: $U_{CC} = 1,65 - 1,95$ В; $U_{CC} = 2,25 - 2,75$ В; $U_{CC} = 3,0 - 3,6$ В; $U_{CC} = 4,5 - 5,5$ В	$I_{ILH}$	–	30 40 50 60	25, 125, минус 60
Статический ток потребления (суммарный), мкА,	$I_{CC}$	–	50	25, 125, минус 60

**Спецификация (К)5572ИН1А(Б)У, (К)5572ИН1А(Б)У1**

Наименование параметра, единица измерения, режим измерения	Буквенное обозначение параметра	Норма параметра		Температура среды, °С
		не менее	не более	
Время распространения входного сигнала порта А или В, нс, при: $U_{nOE} = 0 В$ , $U_{DIR} = U_{CCA}$ для $U_{CCI} = U_{CCA}$ , $U_{CCO} = U_{CCB}$ и $U_{DIR} = 0 В$ , для $U_{CCI} = U_{CCB}$ , $U_{CCO} = U_{CCA}$  при: $U_{CCI} = 1,65 - 1,95 В$ , $U_{CCO} = 1,65-5,5 В$ $U_{CCI} = 2,25-2,75 В$ , $U_{CCO} = 1,65-5,5 В$ $U_{CCI} = 3,0-3,6 В$ , $U_{CCO} = 1,65-5,5 В$ $U_{CCI} = 4,5-5,5 В$ , $U_{CCO} = 1,65-5,5 В$	$t_{PHL}$ $t_{PLH}$	-	40	25, 125, минус 60
		-	35	
		-	30	
		-	25	
Время задержки распространения входного сигнала по сигналу nOE , нс, при: $U_{DIR} = U_{CCA}$ для $U_{CCI} = U_{CCA}$ , $U_{CCO} = U_{CCB}$ или $U_{DIR} = 0 В$ для $U_{CCI} = U_{CCB}$ , $U_{CCO} = U_{CCA}$  при: $U_{CCI} = 1,65-1,95 В$ , $U_{CCO} = 1,65-1,95 В$ $U_{CCI} = 1,65-1,95 В$ , $U_{CCO} = 2,25-2,75 В$  $U_{CCI} = 1,65-1,95 В$ , $U_{CCO} = 3,0-3,6 В$  $U_{CCI} = 1,65-1,95 В$ , $U_{CCO} = 4,5-5,5 В$	$t_{PHZ}$ , $t_{PLZ}$ , $t_{PZH}$ , $t_{PZL}$	-	45	25, 125, минус 60
		-	40	
		-	35	
		-	30	

**Примечания:**

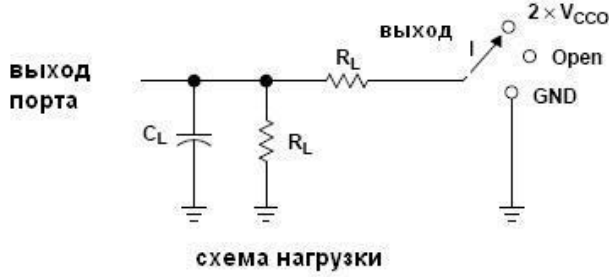
$U_{CCI}$  – питание порта на который поступает передаваемый сигнал.

Для порта А  $U_{CCI} = U_{CCA}$ , для порта В  $U_{CCI} = U_{CCB}$

$U_{CCO}$  – питание порта из которого выходит передаваемый сигнал.

Для порта А  $U_{CCO} = U_{CCA}$ , для порта В  $U_{CCO} = U_{CCB}$

Временные диаграммы



$V_{CCO}$	$C_L$	$R_L$	$V_{TP}$
$1.8\text{ V} \pm 0.15\text{ V}$	15 pF	2 кΩ	0.15 V
$2.5\text{ V} \pm 0.2\text{ V}$	15 pF	2 кΩ	0.15 V
$3.3\text{ V} \pm 0.3\text{ V}$	15 pF	2 кΩ	0.3 V
$5\text{ V} \pm 0.5\text{ V}$	15 pF	2 кΩ	0.3 V

тест	выход
tpd	OPEN
t <sub>PLZ</sub> /t <sub>PZL</sub>	2 × V <sub>CCO</sub>
t <sub>PHZ</sub> /t <sub>PZH</sub>	GND

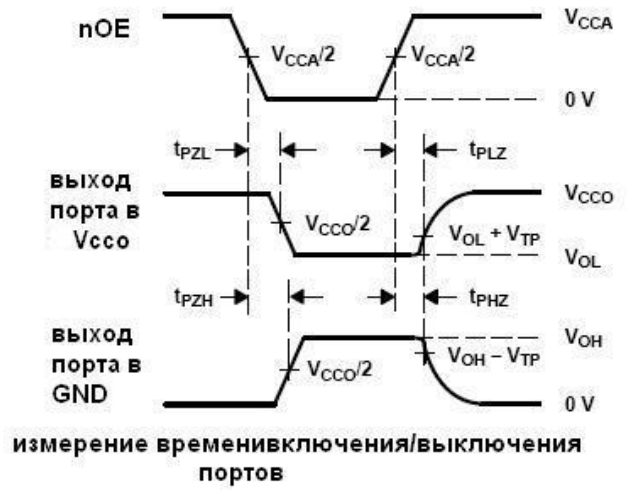


Рис. 2 – Временные диаграммы

## **Максимальная рабочая частота**

Измерения проводились при комнатной температуре окружающей среды на тестовой плате с запаянной микросхемой, без резистора нагрузки, без конденсатора нагрузки. К выходу микросхемы подключен осциллограф Tektronix DPO7254 с щупом Tektronix P6158. С генератора сигнала Agilent 81130А на вход микросхемы подавался меандр на нагрузку 50 Ом, время фронта и спада входного сигнала  $t \leq 1,6$  нс. Сигнал передавался из канала «В» в канал «А» микросхемы. Критерием определения максимальной частоты являлось уменьшение амплитуды выходного сигнала.

**Таблица 5**

	U <sub>ссВ</sub> = 1,8 В	U <sub>ссВ</sub> = 2,5 В	U <sub>ссВ</sub> = 3,3 В	U <sub>ссВ</sub> = 5,0 В
U <sub>ссА</sub> = 1,8 В	70 МГц	80 МГц	90 МГц	уточняется
U <sub>ссА</sub> = 2,5 В	100 МГц	130 МГц	150 МГц	уточняется
U <sub>ссА</sub> = 3,3 В	110 МГц	170 МГц	190 МГц	уточняется
U <sub>ссА</sub> = 5,0 В	120 МГц	180 МГц	200 МГц	уточняется

**Время распространения сигнала от входа к выходу и время задержки включения/отключения**

Измерения проводились при температуре окружающей среды 25 °С без резистора нагрузки, без конденсатора нагрузки, к выходу подключен щуп осциллографа Agilent DSO9104A С<sub>in</sub> щупа на 1 МОм = 10 пФ (на щупе указан диапазон от 10 пФ до 22 пФ).

Измерения  $t_{PLH}/t_{PHL}$  проводились по уровню 50 % задаваемого и выходного сигнала. При измерении  $t_{PLZ}/t_{PZL}$  к выходу подключается резистор R = 2 кОм на U<sub>CC</sub>A или U<sub>CC</sub>B. При измерении  $t_{PHZ}/t_{PZH}$  к выходу подключается резистор R = 2 кОм на землю. Длительность задаваемого фронта/спада по nOE равна 5 нс. Измерения проводились по уровню 50 % задаваемого nOE, 0.9\*U<sub>CC</sub> и 0.1\*U<sub>CC</sub> для выходного сигнала для  $t_{PHZ}$  и  $t_{PLZ}$  соответственно.

$t_r$  – время нарастания входного сигнала.

**Таблица 6**

U <sub>CC</sub> A = 1,8 В									
Направление	Параметр	U <sub>CC</sub> B = 1,8 В		U <sub>CC</sub> B = 2,5 В		U <sub>CC</sub> B = 3,3 В		U <sub>CC</sub> B = 5 В	
		$t_r=5$ нс	$t_r=36$ нс	$t_r=5$ нс	$t_r=36$ нс	$t_r=5$ нс	$t_r=36$ нс	$t_r=5$ нс	$t_r=36$ нс
А в В	$t_{PLH}$ , нс	11,2	18,0	8,4	15,2	7,4	14,2	6,7	13,6
	$t_{PHL}$ , нс	10,2	14,3	7,1	11,3	6,1	10,2	5,3	9,4
В в А		$t_r=5$ нс	$t_r=36$ нс	$t_r=5$ нс	$t_r=50$ нс	$t_r=5$ нс	$t_r=33$ нс	$t_r=5$ нс	$t_r=25$ нс
	$t_{PLH}$ , нс	11,1	17,8	9,7	13,6	9,4	11,5	9,6	11,9
	$t_{PHL}$ , нс	10,1	14,2	9,1	11,2	8,9	10,8	9,0	10,6
nOE к А	$t_{PHZ}$ , нс	TBD		TBD		15,0		TBD	
	$t_{PLZ}$ , нс	TBD		TBD		15,3		TBD	
nOE к В	$t_{PHZ}$ , нс	11,8		10,2		9,9		9,5	
	$t_{PLZ}$ , нс	12,3		10,6		10,2		9,5	
nOE к А	$t_{PZH}$ , нс	TBD		TBD		14,5		TBD	
	$t_{PZL}$ , нс	TBD		TBD		15,1		TBD	
nOE к В	$t_{PZH}$ , нс	11,8		8,8		7,7		7,0	
	$t_{PZL}$ , нс	15,2		10,6		8,9		7,8	

**Таблица 7**

		UccA = 2,5 В							
Направление	Параметр	UccB = 1,8 В		UccB = 2,5 В		UccB = 3,3 В		UccB = 5 В	
		t <sub>r</sub> =5нс	t <sub>r</sub> =50нс	t <sub>r</sub> =5 нс	t <sub>r</sub> =50нс	t <sub>r</sub> =5нс	t <sub>r</sub> =50нс	t <sub>r</sub> =5нс	t <sub>r</sub> =50нс
А в В	t <sub>PLH</sub> , нс	9,8	13,9	6,9	10,9	5,9	9,9	5,2	9,2
	t <sub>PHL</sub> , нс	9,1	11,7	6,0	8,5	4,9	7,5	4,2	6,6
В в А		t <sub>r</sub> =5нс	t <sub>r</sub> =36нс	t <sub>r</sub> =5 нс	t <sub>r</sub> =50нс	t <sub>r</sub> =5нс	t <sub>r</sub> =33нс	t <sub>r</sub> =5нс	t <sub>r</sub> =25нс
	t <sub>PLH</sub> , нс	8,2	14,9	6,7	10,7	6,4	8,5	6,6	8,9
	t <sub>PHL</sub> , нс	7,0	11,1	6,0	8,0	5,8	7,7	5,8	7,4
nOE к А	t <sub>PHZ</sub> , нс	TBD		TBD		10,3		TBD	
	t <sub>PLZ</sub> , нс	TBD		TBD		10,2		TBD	
nOE к В	t <sub>PHZ</sub> , нс	9,8		8,4		8,1		7,4	
	t <sub>PLZ</sub> , нс	10,7		8,6		8,1		7,5	
nOE к А	t <sub>PZH</sub> , нс	TBD		TBD		8,4		TBD	
	t <sub>PZL</sub> , нс	TBD		TBD		8,7		TBD	
nOE к В	t <sub>PZH</sub> , нс	10,2		7,1		6,0		5,2	
	t <sub>PZL</sub> , нс	13,5		8,8		7,1		5,9	

**Таблица 8**

		UccA = 3,3 В							
Направление	Параметр	UccB = 1,8 В		UccB = 2,5 В		UccB = 3,3 В		UccB = 5 В	
		t <sub>r</sub> =5нс	t <sub>r</sub> =33нс	t <sub>r</sub> =5 нс	t <sub>r</sub> =33нс	t <sub>r</sub> =5нс	t <sub>r</sub> =33нс	t <sub>r</sub> =5нс	t <sub>r</sub> =33нс
А в В	t <sub>PLH</sub> , нс	9,5	11,7	6,6	8,8	5,5	7,8	4,8	7,0
	t <sub>PHL</sub> , нс	8,9	11,0	5,8	7,9	4,7	6,7	3,9	5,8
В в А		t <sub>r</sub> =5нс	t <sub>r</sub> =36нс	t <sub>r</sub> =5 нс	t <sub>r</sub> =50нс	t <sub>r</sub> =5нс	t <sub>r</sub> =33нс	t <sub>r</sub> =5нс	t <sub>r</sub> =25нс
	t <sub>PLH</sub> , нс	7,2	13,9	5,7	9,7	5,4	7,5	5,5	7,9
	t <sub>PHL</sub> , нс	6,0	10,1	4,9	6,9	4,6	6,5	4,7	6,2
nOE к А	t <sub>PHZ</sub> , нс	TBD		TBD		8,5		TBD	
	t <sub>PLZ</sub> , нс	TBD		TBD		8,7		TBD	
nOE к В	t <sub>PHZ</sub> , нс	9,3		7,7		7,4		6,7	
	t <sub>PLZ</sub> , нс	9,9		8,0		7,5		6,9	
nOE к А	t <sub>PZH</sub> , нс	TBD		TBD		6,5		TBD	
	t <sub>PZL</sub> , нс	TBD		TBD		6,6		TBD	
nOE к В	t <sub>PZH</sub> , нс	9,8		6,7		5,6		4,8	
	t <sub>PZL</sub> , нс	13,2		8,4		6,7		5,5	

**Таблица 9**

U <sub>ссА</sub> = 5 В									
Направление	Параметр	U <sub>ссВ</sub> = 1,8 В		U <sub>ссВ</sub> = 2,5 В		U <sub>ссВ</sub> = 3,3 В		U <sub>ссВ</sub> = 5 В	
		t <sub>r</sub> =5нс	t <sub>r</sub> =25нс	t <sub>r</sub> =5 нс	t <sub>r</sub> =25нс	t <sub>r</sub> =5нс	t <sub>r</sub> =25нс	t <sub>r</sub> =5нс	t <sub>r</sub> =25нс
А в В	t <sub>PLH</sub> , нс	9,7	12,0	6,7	9,0	5,7	8,0	4,9	7,3
	t <sub>PHL</sub> , нс	9,0	10,7	5,9	7,5	4,7	6,3	3,7	4,0
В в А		t <sub>r</sub> =5нс	t <sub>r</sub> =36нс	t <sub>r</sub> =5 нс	t <sub>r</sub> =50нс	t <sub>r</sub> =5нс	t <sub>r</sub> =33нс	t <sub>r</sub> =5нс	t <sub>r</sub> =25нс
	t <sub>PLH</sub> , нс	6,5	13,3	5,0	9,2	4,6	6,8	4,8	7,2
	t <sub>PHL</sub> , нс	5,2	9,3	4,1	6,0	3,8	5,6	3,6	3,9
nOE к А	t <sub>PHZ</sub> , нс	TBD		TBD		7,5		TBD	
	t <sub>PLZ</sub> , нс	TBD		TBD		7,5		TBD	
nOE к В	t <sub>PHZ</sub> , нс	9,3		7,7		7,1		6,7	
	t <sub>PLZ</sub> , нс	10,0		8,1		7,3		6,8	
nOE к А	t <sub>PZH</sub> , нс	TBD		TBD		5,3		TBD	
	t <sub>PZL</sub> , нс	TBD		TBD		5,3		TBD	
nOE к В	t <sub>PZH</sub> , нс	9,7		6,6		5,4		4,7	
	t <sub>PZL</sub> , нс	13,1		8,3		6,5		5,3	

Типовые зависимости

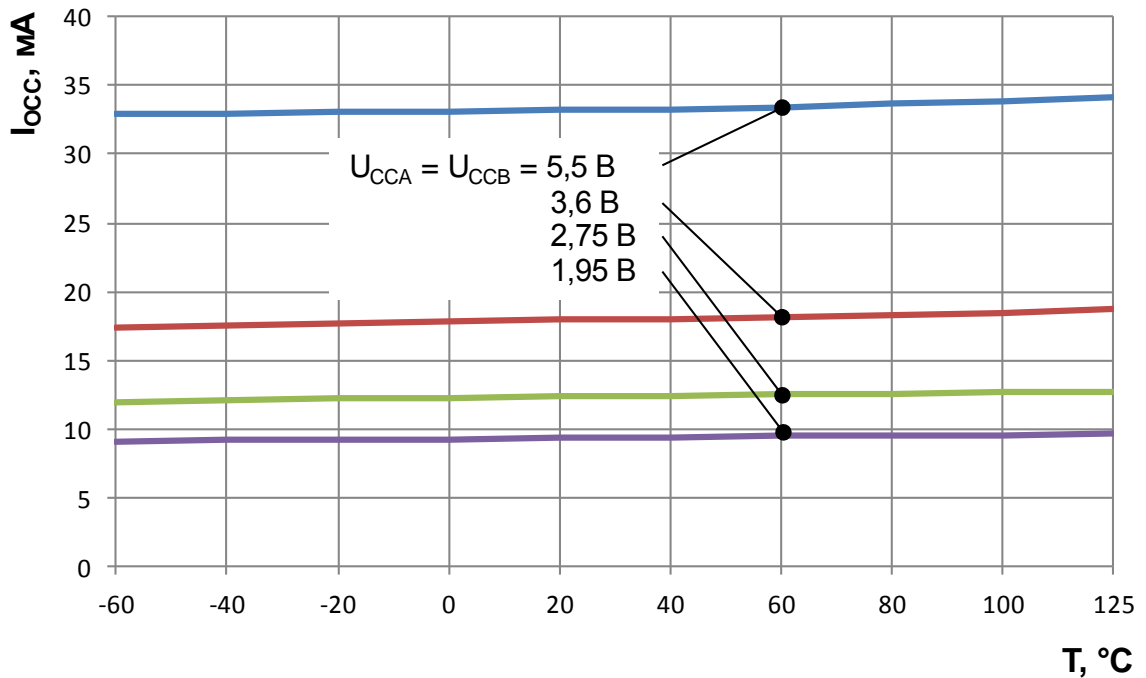


Рис. 3 – Зависимость динамического тока потребления (без нагрузки)  $I_{OSS}$  от температуры при  $f = 25$  МГц (здесь и далее  $f$  – частота передаваемых импульсных сигналов)

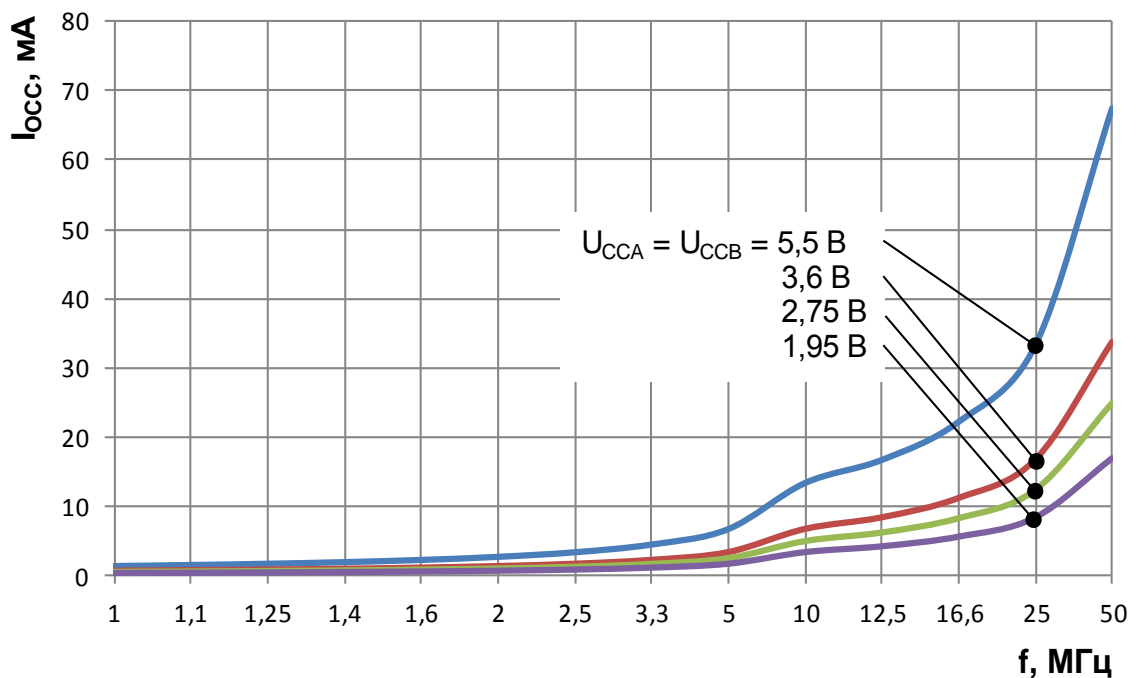


Рис. 4 – Зависимость динамического тока потребления (без нагрузки)  $I_{OSS}$  от частоты при  $T = 20$  °C

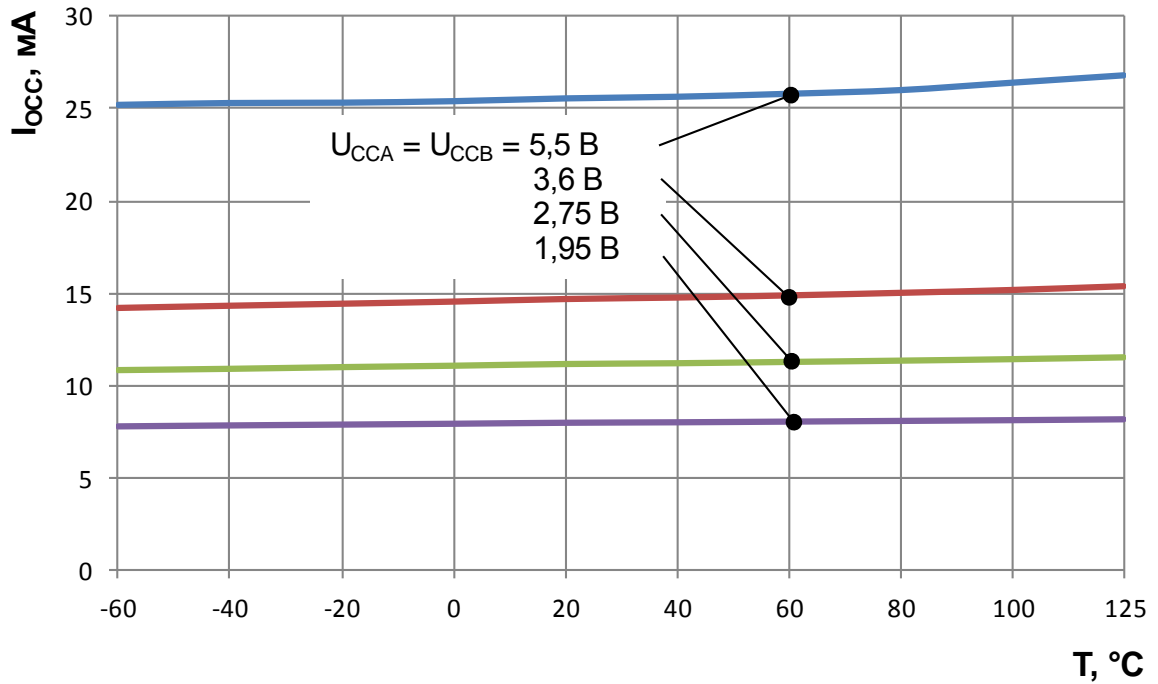


Рис. 5 – Зависимость динамического тока потребления (без нагрузки)  $I_{OSS}$  от температуры при  $f = 25$  МГц

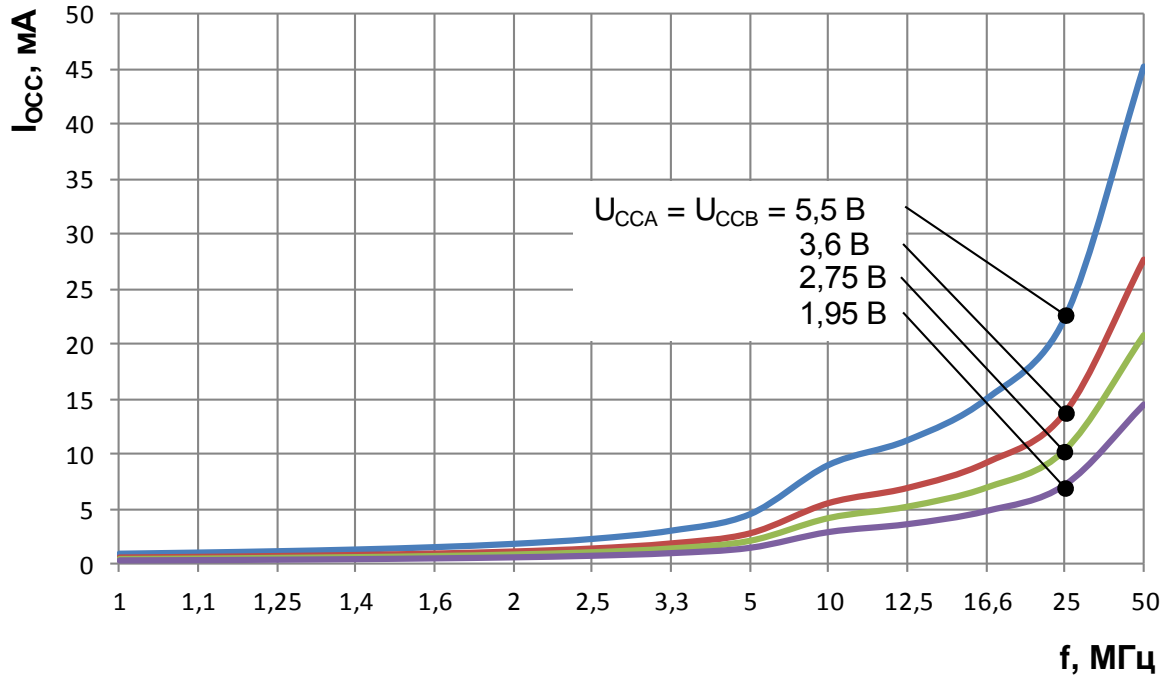


Рис. 6 – Зависимость динамического тока потребления (без нагрузки)  $I_{OSS}$  от частоты при  $T = 20$  °C





**Информация для заказа**

<b>Обозначение</b>	<b>Маркировка</b>	<b>Тип корпуса</b>	<b>Температурный диапазон</b>
5572ИН1АУ	5572ИН1АУ	Н16.48-1В	минус 60 – 125 °С
К5572ИН1АУ	К5572ИН1АУ	Н16.48-1В	минус 60 – 125 °С
К5572ИН1АУК	К5572ИН1АУ•	Н16.48-1В	0 – 70 °С
5572ИН1БУ	5572ИН1БУ	Н16.48-1В	минус 60 – 125 °С
К5572ИН1БУ	К5572ИН1БУ	Н16.48-1В	минус 60 – 125 °С
К5572ИН1БУК	К5572ИН1БУ•	Н16.48-1В	0 – 70 °С
5572ИН1АУ1	5572ИН1АУ1	5142.48-А	минус 60 – 125 °С
К5572ИН1АУ1	К5572ИН1АУ1	5142.48-А	минус 60 – 125 °С
К5572ИН1АУ1К	К5572ИН1АУ1•	5142.48-А	0 – 70 °С
5572ИН1БУ1	5572ИН1БУ1	5142.48-А	минус 60 – 125 °С
К5572ИН1БУ1	К5572ИН1БУ1	5142.48-А	минус 60 – 125 °С
К5572ИН1БУ1К	К5572ИН1БУ1•	5142.48-А	0 – 70 °С

Микросхемы с приемкой «ВП» маркируются ромбом.

Микросхемы с приемкой «ОТК» маркируются буквой «К».

**Лист регистрации изменений**

№ п/п	Дата	Версия	Краткое содержание изменения	№№ изменяемых листов	№№ новых листов
1	19.12.2012	1.0.1	Доработка по предложениям потребителя		
2	03.07.2013	1.1.1	Добавлено описание функционирования микросхемы, таблицы с параметрами	6-10	
3	01.08.2013	1.2.1	Исправлена таблица электрических параметров микросхемы	9, 10	
4	02.08.2013	1.2.2	Редактирование текста и таблиц	1, 6, 9, 15	
5	09.12.2013	1.3.2	Исправление маркировки микросхемы	1, 15	
6	24.03.2014	2.0.0	Исправление рисунков и таблицы 1 Описание выводов	1, 4	
7	25.03.2014	2.0.1	Добавлено описание измерений времени распространения сигнала и времени задержки, таблицы с параметрами. Добавлены рисунки зависимостей динамического тока потребления		12-16
8	04.04.2014	2.0.2	Редактирование таблицы 3	7	
9	07.04.2014	2.0.3	Редактирование рисунка	1	
10	23.04.2014	2.1.0	Редактирование блок-схемы	5	
11	22.07.2014	2.2.0	Добавлен раздел Максимальная рабочая частота		11